



AB 1294



LABORATORIUM ANTEO
POLAND Sp. z o.o. sp. k.
Laboratorium Badawcze Anteo
ul. Chryzantem 23/1
41-700 Ruda Śląska
e-mail: laboratorium@anteo.pl

SPRAWOZDANIE Z BADAŃ PÓL ELEKTROMAGNETYCZNYCH W OTOCZENIU STACJI BAZOWEJ TELEFONII KOMÓRKOWEJ SIECI P4 DLA POTRZEB OCHRONY LUDZI I ŚRODOWISKA

Nr stacji	Miejsce wykonania pomiarów:	Data wykonania pomiarów:	Data autoryzacji sprawozdania:
WOD2012E	Rydułtowy, ul. Raciborska 150	2020-09-15	2020-09-16
Zleceniodawca:	P4 Sp. z o.o. ul. Taśmowa 7, 02-677 Warszawa		
Nr ewidencyjny sprawozdania:	SP_2020-08_007-17a-S_WOD2012E		
Sprawozdanie wykonał:	Sprawdził:	Autoryzował:	
mgr Magdalena Gabryel Specjalista ds. jakości	mgr Daniel Kukielka Kierownik laboratorium	mgr Daniel Kukielka Kierownik laboratorium	

1. Wstęp

Badania wykonano na podstawie umowy z dnia 2018-08-31 pomiędzy firmą **Laboratorium Anteo Poland sp. z o.o. sp. k., ul. Chryzantem 23/1, 41-700 Ruda Śląska**, a firmą **P4 Sp. z o.o., ul. Taśmowa 7, 02-677 Warszawa**, przekazanej do realizacji Laboratorium Badawczemu Anteo.

Sprawozdanie przedstawia wyniki sprawdzenia dotrzymania dopuszczalnych poziomów pól elektromagnetycznych w środowisku w otoczeniu instalacji - stacji bazowej **WOD2012E** będącej obiektem radiokomunikacyjnym P4 Sp. z o.o., w miejscach dostępnych dla ludności w otoczeniu ww. instalacji.

Wyniki pomiarów odnoszą się wyłącznie do istniejącej konfiguracji instalacji antenowej. Każda zmiana konfiguracji, o ile zmiana ta może mieć wpływ na zmiany poziomów pól elektromagnetycznych, wiąże się z koniecznością wykonania nowego badania.

Laboratorium badawcze akredytowane przez PCA, Nr AB1294. Data ważności certyfikatu akredytacji: od 2019-10-28 do 2023-10-27. Zakres wykonywanych przez laboratorium badań podany jest pod adresem www.pca.gov.pl.

Akredytacja laboratorium w odniesieniu do normy ISO/IEC 17025:2018-02 oznacza spełnienie wymagań dotyczących kompetencji technicznych i systemu zarządzania, koniecznych dla zapewnienia wiarygodnych technicznie wyników badań.

2. Metoda badań

Pomiary wykonano zgodnie z obowiązującymi aktami prawnymi:

- Załącznik do rozporządzenia Ministra Klimatu z dnia 17 lutego 2020 r. w sprawie sposobów sprawdzania dotrzymania dopuszczalnych poziomów pól elektromagnetycznych w środowisku (Dz. U. 2020, poz. 258).

3. Akty prawne

- Rozporządzenie Ministra Klimatu z dnia 17 lutego 2020 r. w sprawie sposobów sprawdzania dotrzymania dopuszczalnych poziomów pól elektromagnetycznych w środowisku (Dz. U. 2020, poz. 258).
- Rozporządzenie Ministra Zdrowia z dnia 17 grudnia 2019 r. w sprawie dopuszczalnych poziomów pól elektromagnetycznych w środowisku (Dz. U. 2019, poz. 2448).
- Ustawa z dnia 16 kwietnia 2020 r. o szczególnych instrumentach wsparcia w związku z rozprzestrzenianiem się wirusa SARS-CoV-2 (Dz. U. 2020, poz. 695).

4. Lokalizacja obiektu badań

Badany obiekt znajduje się w miejscowości Rydułtowy, ul. Raciborska 150.

Współrzędne geograficzne obiektu: 18°24'43.51"E, 50°04'19.83"N.

5. Opis badania

Badany obiekt jest obiektem radiokomunikacyjnym sieci komórkowej (radiowa stacja bazowa telefonii mobilnej w sieci o przeznaczeniu publicznym). Anteny zainstalowano na wieży stalowej. Na obiekcie zainstalowano urządzenia pracujące w pasmach częstotliwości 2600MHz, 2100MHz, 1800MHz, 900MHz, 800MHz oraz radiolinii 32GHz. Pomiary pól elektromagnetycznych zostały wykonane w szczególności w tych miejscach, w których na podstawie przeprowadzonych obliczeń, stwierdzono występowanie w danych zakresach częstotliwości pól elektromagnetycznych o poziomach zbliżonych do dopuszczalnych. Na kierunku zbliżonym do azymutu anten pomiary wykonano do odległości $10 \times H_{ANT}$ (gdzie H_{ANT} - oznacza wysokość zawieszenia anteny względem powierzchni terenu wyrażoną w m).

Wszelkie dane dotyczące źródeł promieniowania (min. wysokość anten, częstotliwość pracy) oraz współrzędne geograficzne obiektu pochodzą od zlecniodawcy.

Badanie zostało przeprowadzone w godz. od 10:30 do 12:30 przez:

Marcin Bieda – Technik ds. pomiarów PEM

6. Warunki atmosferyczne

Temperatura powietrza: 28,0°C

Wilgotność powietrza: 61,0%

Brak opadów atmosferycznych podczas przeprowadzania badania.

Pomiary zostały wykonane przy temperaturze i wilgotności względnej nie wyższej niż dopuszczalna specyfikacja miernika.

Pomiar temperatury i wilgotności wykonano przy użyciu Termohigrometru Voltcraft BL-20 TRH

7. Parametry techniczne obiektu badań

Parametry techniczne przekazane przez zleceniodawcę.

Tabela nr 1 – Parametry systemu nadawczo – odbiorczego pracującego w paśmie 1800MHz, 900MHz, 800MHz, 2100MHz, 2600MHz

Tabela nr 2 – Parametry linii radioliniowej

Parametry systemu nadawczo odbiorczego pracującego w paśmie - 2600MHz, 2100MHz, 1800MHz, 900MHz, 800MHz – tabela 1

Charakterystyka promieniowania				kierunkowa					
Rzeczywisty czas pracy [h/dobę]				Całodobowa 24h					
Warunki pracy				Znamionowe					
Rodzaj wytwarzanego pola				stacjonarne					
Lp.	Typ nadajnika	Antena Producent / Typ	Azymut [°]	Wysokość środka elektr. anteny [m n.p.t.]	Pasmo [Mhz]	Kąt nachylenia [°]	EIRP dla anteny [W]	LON	LAT
1	DBS3xxx/5xxx	Huawei ATR4518R6	70	41	800	5	11144	18°24'43.51"E	50°04'19.83"N
	2600				5	18°24'43.51"E		50°04'19.83"N	
2	DBS3xxx/5xxx	Huawei ATR4518R6	70	41	900	5	13371	18°24'43.51"E	50°04'19.83"N
	1800				5	18°24'43.51"E		50°04'19.83"N	
	2100				5	18°24'43.51"E		50°04'19.83"N	
3	DBS3xxx/5xxx	Huawei ATR4518R6	180	41	800	5	11144	18°24'43.51"E	50°04'19.83"N
	2600				5	18°24'43.51"E		50°04'19.83"N	
4	DBS3xxx/5xxx	Huawei ATR4518R6	180	41	900	5	13371	18°24'43.51"E	50°04'19.83"N
	1800				5	18°24'43.51"E		50°04'19.83"N	
	2100				5	18°24'43.51"E		50°04'19.83"N	
5	DBS3xxx/5xxx	Huawei ATR4518R6	320	41	800	5	11144	18°24'43.51"E	50°04'19.83"N
	2600				5	18°24'43.51"E		50°04'19.83"N	
6	DBS3xxx/5xxx	Huawei ATR4518R6	320	41	900	5	13371	18°24'43.51"E	50°04'19.83"N
	1800				5	18°24'43.51"E		50°04'19.83"N	
	2100				5	18°24'43.51"E		50°04'19.83"N	

Parametry systemu nadawczo – odbiorczego linii radioliniowej – Tabela nr 2

Charakterystyka promieniowania				kierunkowa					
Rzeczywisty czas pracy [h/dobę]				24					
Rodzaj wytwarzanego pola				stacjonarne					
Linia radiowa				Antena					
Lp.	Typ nadajnika	Częstotliwość pracy [GHz]	Moc wyjściowa [dBm]	Typ/producent	Średnica anteny [m]	Azymut [°]	Wysokość zainstal. [m]	LON	LAT
1	OPTIX RTN/HUAWEI	32	23	0.6-32(VHLP2-32)	0,6	107	39,9	18°24'43.51"E	50°04'19.83"N

8. Sposób identyfikacji pola elektromagnetycznego

Niezbędnych informacji na temat źródeł pól udzielił Specjalista ds. Administracji Projektu P4 Sp. z o.o., który nie brał udziału w badaniach.

Uwzględniono podaną przez zleceniodawcę poprawkę pomiarową o wartości 1,70. Z przekazanych przez zleceniodawcę informacji wynika, iż po uwzględnieniu poprawki w/w urządzenia podczas pomiaru pracowały w warunkach maksymalnego występującego lub planowanego obciążenia, tj. zgodnie z parametrami w pkt. 7.

9. Opis terenu

Stacja bazowa telefonii komórkowej sieci P4 Sp. z o.o. WOD2012E zlokalizowana jest na wieży w miejscowości Rydułtowy, ul. Raciborska 150. Anteny sektorowe są zainstalowane na wysokości 41m n. p. t. Urządzenia nadawczo – odbiorcze znajdują się w szafach, które umieszczone są na przyziemiu. Bezpośrednim sąsiedztwem stacji są tereny przemysłowe, tereny użyteczności publicznej oraz zabudowa mieszkaniowa. Na obszarze, w którym na podstawie przeprowadzonych obliczeń, stwierdzono występowanie, w danym zakresie częstotliwości, pól elektromagnetycznych o poziomach zbliżonych do dopuszczalnych, znajdują się budynki, w których mogą przebywać ludzie. W związku z ogłoszonym stanem epidemii, zgodnie z art.31 pkt. 2 ustawy Dz. U. 2020, poz. 695 nie przeprowadzono pomiarów w lokalach mieszkalnych oraz lokalach użytkowych.

W badanym środowisku nie znajdują się urządzenia innych operatorów mogące mieć wpływ na wyniki mierzonego pola EM.

10. Sprzęt pomiarowy

Tabela nr 3 – Sprzęt pomiarowy

Lp.	Nazwa i typ urządzenia	Numer identyfikacyjny
1.	Zestaw pomiarowy NARDA NBM-520 wraz z sondą EF6091*	2403/01B D-0648 2402/04B 01056
2.	Zestaw pomiarowy NARDA NBM-520 wraz z sondą EF0392*	2403/01B D-0648 2402/12B D-0315
3.	Termohigrometr Voltcraft BL-20 TRH	130206311
4.	Dalmierz laserowy GLM 250 VF	209147077

*Zestaw pomiarowy przed wykonaniem pomiarów został sprawdzony za pomocą uniwersalnego testera sond UTEST-7

Tabela nr 4 – Szerokopasmowe mierniki pola elektromagnetycznego

Lp.	Nazwa i typ urządzenia	Zakres pomiarowy	Numer świadectwa wzorcowania	Data następnego wzorcowania
1.	Miernik Narda NBM-520	Zależny od sondy	LWiMP/W/031/19**	2021-02-08
2.	Sonda Narda EF6091	0,69 – 300V/m 80MHz – 90GHz	LWiMP/W/031/19**	2021-02-08

3.	Sonda Narda EF0392	0,63 – 991V/m 0,1MHz – 3GHz	LWiMP/W/031/19**	2021-02-08
----	--------------------	--------------------------------	------------------	------------

**LWiMP – Laboratorium Wzorców i Metrologii Pola Elektromagnetycznego, Instytut Telekomunikacji, Teleinformatyki i Akustyki, Politechnika Wroclawska

Tabela nr 5 – Sprzęt uzupełniający

Lp.	Nazwa i typ urządzenia	Zakres pomiarowy	Numer świadectwa wzorcowania	Data następnego sprawdzenia
1.	Termohigrometr Voltcraft BL-20 TRH	-20 ÷ +60°C 0 – 100%RH	719-2097/19*** 719-2096/19***	Wzorcowania: 2021-07-19 Sprawdzenia: 2022-07-15
2.	Dalmierz laserowy Bosch GLM 250 VF	0,05 – 250m	215.1-M11-4180-116/13**** 2239.8-M11-4180-1039/11****	2020-12-23
3	Urządzenie GPS H-Target Qmini	-	-	2021-03-10

***Laboratorium Pomiarowe INTROL

****Zakład Długości Kąta GUM

11. Wyniki badań

Tabela nr 6 – Natężenie pola elektrycznego i magnetycznego

Nr pionu	Opis miejsca pomiaru	Natężenie pola** E [V/m]	Natężenie pola*** H [A/m]	Wysokość pomiaru**** [m]	Współrzędne geograficzne pionu	Wartości WME*****	Wartości WMH*****
1	GKP 180°, Teren przemysłowy	<1,8	<0,005	0,3-2,00	50°04'18.7"N 18°24'44.8"E	<0,06	<0,06
2	GKP 320°, Teren przemysłowy	<1,8	<0,005	0,3-2,00	50°04'19.8"N 18°24'45.6"E	<0,06	<0,06
3	GKP 180°, Teren przemysłowy	<1,8	<0,005	0,3-2,00	50°04'17.4"N 18°24'44.3"E	<0,06	<0,06
4	Teren przemysłowy	<1,8	<0,005	0,3-2,00	50°04'17.6"N 18°24'40.6"E	<0,06	<0,06
5	GKP 180°, Teren firmy Migrex	<1,8	<0,005	0,3-2,00	50°04'13.8"N 18°24'43.1"E	<0,06	<0,06
6	Teren firmy Migrex	<1,8	<0,005	0,3-2,00	50°04'14.5"N 18°24'48.2"E	<0,06	<0,06
7	GKP 180°, Teren stadionu	<1,8	<0,005	0,3-2,00	50°04'06.6"N 18°24'43.0"E	<0,06	<0,06
8	Teren stadionu	<1,8	<0,005	0,3-2,00	50°04'08.6"N 18°24'47.5"E	<0,06	<0,06
9	Teren stadionu	<1,8	<0,005	0,3-2,00	50°04'10.0"N 18°24'38.7"E	<0,06	<0,06
10	GKP 320°, Teren przemysłowy	<1,8	<0,005	0,3-2,00	50°04'22.7"N 18°24'40.1"E	<0,06	<0,06
11	GKP 320°, Droga, os. Na wzgórzu 152	<1,8	<0,005	0,3-2,00	50°04'26.3"N 18°24'34.8"E	<0,06	<0,06
12	Droga, os. Na Wzgórzu 64	<1,8	<0,005	0,3-2,00	50°04'28.4"N 18°24'38.4"E	<0,06	<0,06
13	GKP 320°, Teren zieleni	<1,8	<0,005	0,3-2,00	50°04'29.9"N 18°24'30.4"E	<0,06	<0,06
14	Droga, ul. Raciborska 275	<1,8	<0,005	0,3-2,00	50°04'24.7"N 18°24'31.2"E	<0,06	<0,06
15	Droga, os. Na Wzgórzu 158	<1,8	<0,005	0,3-2,00	50°04'24.2"N 18°24'36.0"E	<0,06	<0,06
16	Ogródki działkowe	<1,8	<0,005	0,3-2,00	50°04'19.5"N 18°24'47.6"E	<0,06	<0,06

17	GKP 70°, Ogródki działkowe	<1,8	<0,005	0,3-2,00	50°04'21.3"N 18°24'49.7"E	<0,06	<0,06
18	GKP 70°, Parking sklepu Tesco	<1,8	<0,005	0,3-2,00	50°04'22.5"N 18°24'55.8"E	<0,06	<0,06
19	Teren stacji benzynowej Orlen	<1,8	<0,005	0,3-2,00	50°04'25.2"N 18°24'57.2"E	<0,06	<0,06
20	Parking sklepu Tesco	<1,8	<0,005	0,3-2,00	50°04'21.9"N 18°24'59.2"E	<0,06	<0,06
21	GKP 70°, Chodnik, ul. Ładna	<1,8	<0,005	0,3-2,00	50°04'23.4"N 18°25'00.8"E	<0,06	<0,06

Przy wskazaniach sondy poniżej czułości, dla punktu pomiarowego, przyjęto wartość <1,8 V/m i <0,005 A/m oraz WME i WMH <0,06, z uwzględnieniem poprawki pomiarowej i niepewności pomiaru

*GKP – Główny Kierunek Pomiarowy

** - wartość przy uwzględnieniu współczynników Cf (charakterystyka częstotliwościowa) i Cd (charakterystyka dynamiczna). Wartość chwilowa, zgodnie z pkt 11 załącznika do rozporządzenia Ministra Klimatu z dnia 17 lutego 2020r. (poz. 258), z uwzględnieniem poprawki pomiarowej i niepewności pomiaru.

*** - wartość wyznaczona na podstawie pomiaru wartości skutecznej natężenia pola elektrycznego, z zależności: $H = E/377$, z uwzględnieniem poprawki pomiarowej i niepewności pomiaru.

**** - wysokość liczona jest od poziomu podłoża, gruntu.

***** - wartości wskaźnikowe zgodnie z pkt.25 ppkt.1 rozporządzenia Ministra Klimatu Dz. U. 2020 poz.258:

$$WM_E = \frac{E}{\min(ME_{gr})}$$

$$WM_H = \frac{H}{\min(MH_{gr})}$$

gdzie:

WME (WMH) – oznacza wartość wskaźnikową poziomu emisji pól elektromagnetycznych dla miejsc dostępnych dla ludności dla składowej elektrycznej (magnetycznej) pola,

E (H) – oznacza zmierzoną wartość skuteczną natężenia pola elektrycznego E, wyrażoną w V/m, (natężenia pola magnetycznego H, wyrażonego w A/m), uśrednioną w sposób określony w przepisach wydanych na podstawie art. 122 ust. 1 ustawy z dnia 27 kwietnia 2001 r. – Prawo ochrony środowiska,

min(ME_{gr}) (min MH_{gr}) – oznacza najniższą dopuszczalną wartość składowej elektrycznej (magnetycznej) pola dla objętego pomiarami zakresu częstotliwości dla miejsc dostępnych dla ludności określoną w przepisach wydanych na podstawie art. 122 ust. 1 ustawy z dnia 27 kwietnia 2001 r. – Prawo ochrony środowiska wyrażoną w V/m rozporządzeniem Min. Zdrowia z 17 grudnia 2019 roku Dz.U2019 poz.2448.

Oszacowana niepewność rozszerzona przeprowadzonych pomiarów natężenia pola elektromagnetycznego nie przekracza 27,5% (niepewność rozszerzona przy prawdopodobieństwie rozszerzenia ok.95% i współczynnika k=2). Opis szacowania niepewności pomiaru znajduje się w dokumencie: Z7.4.1. Szacowanie niepewności pomiaru Laboratorium Badawczego ANTEO i jest zgodny z wytycznymi EA dotyczącymi wyrażania niepewności w badaniach ilościowych zawartymi w publikacji EA-04/16.

Badanie wykonywano metodą dwóch sond szerokopasmowych opisaną w dokumencie Z7.4.5 Ocena możliwości realizacji metody badawczej wydanie z 2020-03-05. W każdym z pionów pomiarowych sprawdzono i wykluczono udział promieniowania radiolinii w badanym widmie, korzystając z w/w metody.

12. Podsumowanie

Dopuszczalny poziom promieniowania, dla poszczególnych zakresów częstotliwości, charakteryzują parametry fizyczne określone w załączniku do Rozporządzenia Ministra Zdrowia z dnia 17 grudnia 2019 r. w sprawie dopuszczalnych poziomów pól elektromagnetycznych w środowisku (Dz. U. 2019, poz. 2448) – tabela nr 7.

Tabela nr 7 – Dopuszczalne poziomy pól elektromagnetycznych dla miejsc dostępnych dla ludności.

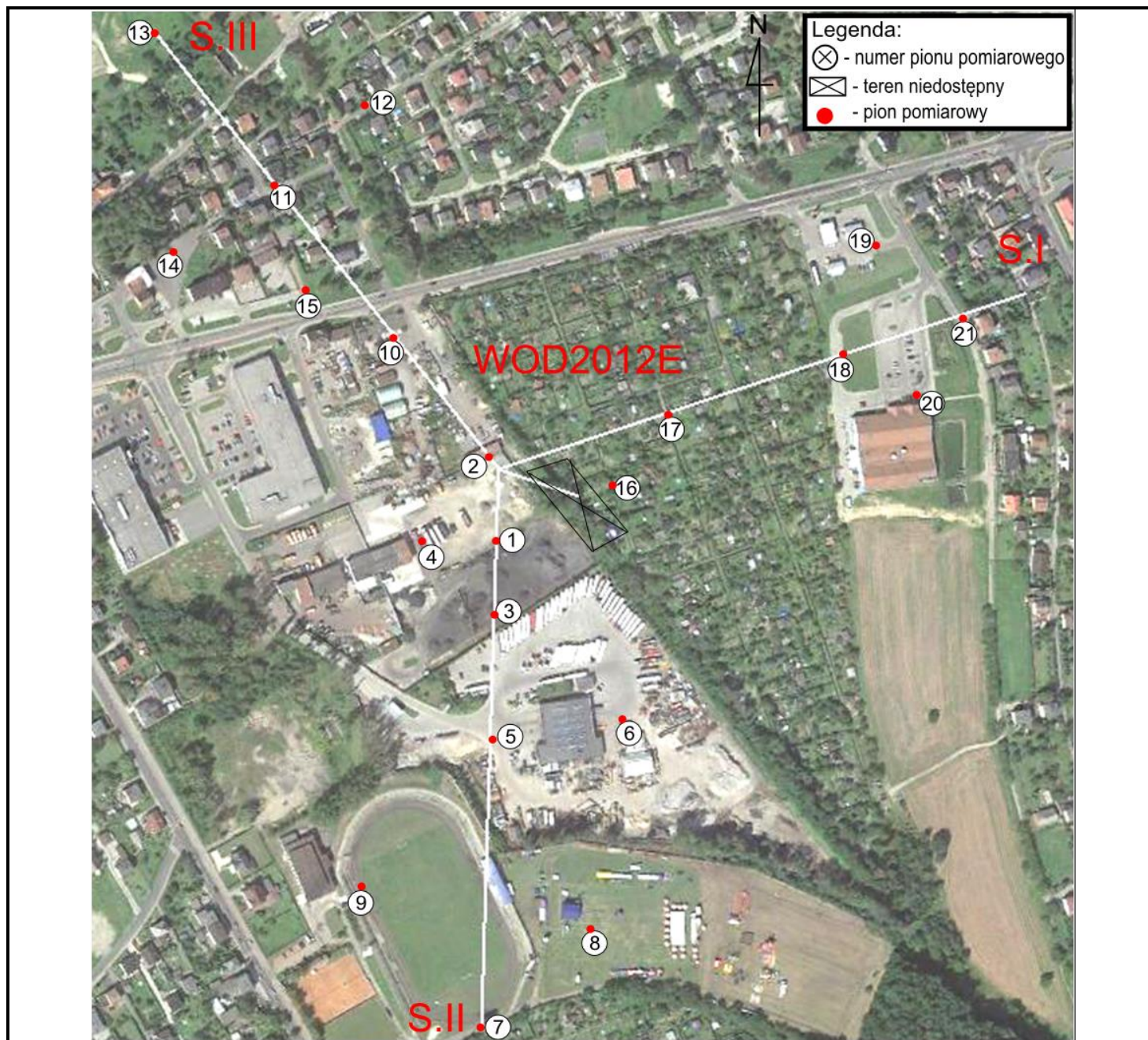
Zakres częstotliwości pola elektromagnetycznego	Składowa elektryczna E (V/m)	Składowa magnetyczna H (A/m)	Gęstość mocy S (W/m ²)
0 Hz	10000	2500	ND
Od 0 Hz do 0,5 Hz	ND	2500	ND
Od 0,5 Hz do 50 Hz	10000	60	ND
Od 0,05 Hz do 1 kHz	ND	3 / f	ND
Od 1 kHz do 3 kHz	250 / f	5	ND
Od 3 kHz do 150 kHz	87	5	ND
Od 0,15 MHz do 1 MHz	87	0,73 / f	ND
Od 1 MHz do 10 MHz	87 / f ^{0,5}	0,73 / f	ND
Od 10 MHz do 400 MHz	28	0,073	2
Od 400 MHz do 2000 MHz	1,375 x f ^{0,5}	0,0037 x f ^{0,5}	f / 200
Od 2 GHz do 300 GHz	61	0,16	10

Podczas badania przyjęto, jako wartości dopuszczalną poziomą pola elektromagnetycznego w środowisku wartość 2 W/m^2 (28 V/m), tj. wartość dopuszczalną dla dolnego zakresu pasma 400MHz - 2000MHz. Pomiary wykonano dla średniego kąta pochylenia wiązki; przeprowadzone badania w środowisku, w obszarze pomiarowym w otoczeniu stacji bazowej WOD2012E w zmierzonych pionach pomiarowych, nie wykazały przekroczenie 60% wartości dopuszczalnej poziomu pól elektromagnetycznych.

W badanym obszarze pomiarowym, w zmierzonych pionach pomiarowych, w miejscach dostępnych dla ludności, żadna wyznaczona wartość wskaźnikowa (WME , WMH) nie przekroczyła wartości 1.

13. Załączniki

Załącznik nr 1 – Rysunek poglądowy terenu, rozmieszczenie pionów pomiarowych na terenie wokół stacji



Zdjęcie satelitarne: Image © 2020 CNES/Airbus

14. Współpraca z klientem

Laboratorium współpracuje z Klientem w celu uściślenia jego oczekiwań. W szczególności Laboratorium w swojej działalności zobowiązuje się do spełnienia wymagań klienta, zachowania poufności badań i ochrony jego praw, jeśli nie jest to sprzeczne z obowiązującym prawem.

Klient jest informowany o wszystkich odstępstwach od umowy. Klient ma możliwość złożenia skargi w terminie 14 dni od daty przyjęcia sprawozdania.

Koniec sprawozdania